

УДК 538.951

© 1990

ТЕМПЕРАТУРНЫЕ ОСЦИЛЛЯЦИИ ВНУТРЕННЕГО ТРЕНИЯ МОНОКРИСТАЛЛА FeGe_2

*К. Б. Власов, Е. В. Устелемова, Р. И. Зайнуллина,
М. А. Милляев, С. В. Устелемов*

Приведены результаты исследования методом составного вибратора температурных зависимостей скоростей распространения продольных ультразвуковых волн и внутреннего трения Q^{-1} монокристалла FeGe_2 вдоль трех кристаллографических осей [100], [001] и [110]. В области температур магнитных фазовых переходов $T_1 = -265$ и $T_2 = 287$ К обнаружены λ -подобные уменьшения скоростей звука. Температурная зависимость Q^{-1} при $T < T_2$ имеет аномальный (осцилляционный) характер. Причиной осцилляций внутреннего трения, по-видимому, являются осцилляции пространственных производных намагниченности, обусловленные серией фазовых переходов соизмеримая—несоизмеримая магнитные структуры.

Соединение FeGe_2 (пространственная группа D_{4h}^{18}) имеет два магнитных фазовых перехода при $T_1 = 265$ и $T_2 = 287$ К. Согласно нейтронографическим исследованиям [1], в нем с понижением температуры реализуется следующая последовательность магнитных структур: параметризм ($T > T_2$)—несоизмеримая структура ($T_1 < T < T_2$)—коллинеарная антиферромагнитная структура ($T < T_1$). В магнитоупорядоченных состояниях моменты лежат в базисной плоскости. Однако обнаруженные нами [2–4] осцилляционная зависимость интегральных интенсивностей брэгговских рефлексов, ступенчатый характер температурных зависимостей параметров решетки, осцилляционная температурная зависимость магнитной восприимчивости позволяют предположить, что при $T < T_1$ FeGe_2 обладает более сложной магнитной структурой и существенную роль играет сильная связь магнитной и кристаллической структур. Перечисленные особенности исследованных характеристик в [5] объясняются исходя из предположения о наличии нескольких взаимодействующих подсистем, в одной из которых с изменением температуры осуществляется серия фазовых переходов соизмеримая—несоизмеримая магнитные структуры.

Исходя из информативности ультразвуковых исследований, их чувствительности к различного рода фазовым переходам, нами были предприняты измерения скорости распространения продольных ультразвуковых волн (УЗВ) и внутреннего трения монокристаллов FeGe_2 вдоль разных кристаллографических направлений.

1. Методика эксперимента

Для измерения скорости распространения продольных УЗВ v и внутреннего трения Q^{-1} применялся метод составного вибратора. Резонансная частота составных вибраторов 65–70 кГц. Продольные ультразвуковые волны возбуждались кварцевыми пьезовибраторами X -среза. Для исследования v и Q^{-1} использовались монокристаллы FeGe_2 , выращенные из расплава по методу Чохральского в направлениях [100], [001] и [110] на кафедре общей физики УПИ. Из них вырезались прямоугольные образцы размеров $3 \times 3 \times 40$ мм, ориентированные вдоль выбранных кристаллографических направлений с точностью около 1° . Измерения температурной

зависимости скорости распространения звука и внутреннего трения проводились в цикле нагрева с интервалом 0.5 К со средней скоростью нагрева образца 6 град/ч. Измерения осуществлялись в атмосфере газообразного гелия при постоянном давлении. Заданная температура поддерживалась с точностью ± 0.1 К. Ошибка в определении относительного изменения скорости распространения продольных УЗВ под действием температуры не превышала $10^{-3}\%$.

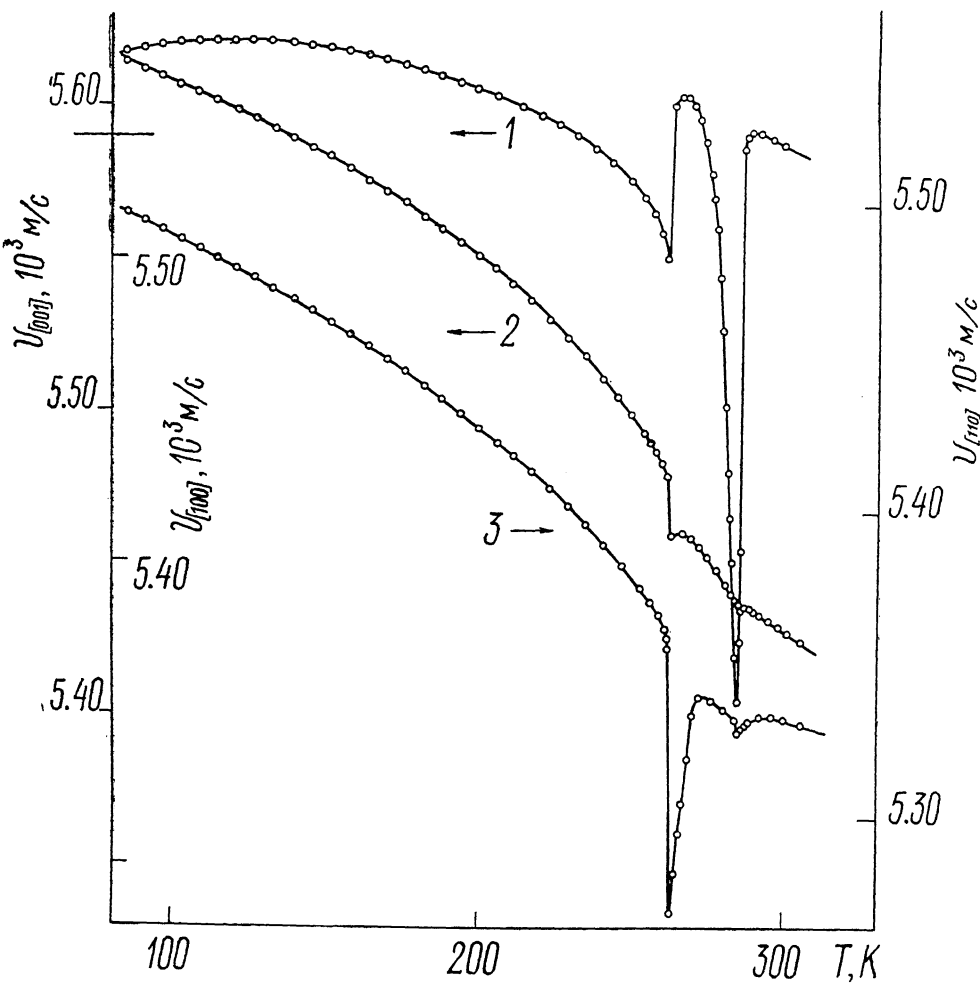


Рис. 1.

2. Результаты измерений и их обсуждение

На рис. 1 представлены температурные зависимости скоростей распространения продольных УЗВ вдоль кристаллографических осей [100] (1), [001] (2) и [110] (3). Видно, с понижением температуры наблюдается анизотропное возрастание скорости звука: наибольшее — вдоль оси [001], наименьшее — вдоль [100]. В области температур магнитных фазовых переходов T_1 и T_2 наблюдаются анизотропные λ -подобные уменьшения скоростей звука. При T_1 наибольшее уменьшение обнаруживается при распространении УЗВ вдоль оси [110] ($\Delta v/v = 1.7\%$) и наименьшее — вдоль [001] ($\Delta v/v = 0.37\%$). При T_2 на температурных зависимостях скоростей распространения продольных УЗВ наблюдаются малые аномалии вдоль осей [110] и [001] и большая аномалия вдоль [100], достигая $\Delta v/v = 4.4\%$.

Следует отметить, что аномалии на температурных зависимостях скоростей распространения продольных УЗВ вдоль разных кристаллографи-

ческих осей проявляются при обеих температурах T_1 и T_2 , тогда как при высоких частотах (10—20 МГц) в работах [6, 7] на температурных зависимостях скоростей распространения продольных УЗВ аномалии обнаружены только при температуре T_1 вдоль оси [001] и только при T_2 вдоль [100].

На рис. 2 приведены температурные зависимости внутреннего трения Q^{-1} при распространении продольных УЗВ вдоль кристаллографических осей [100] (1), [001] (2) и [110] (3). В отличие от температурных зависимостей скоростей распространения продольных УЗВ температурная зависимость внутреннего трения при $T < T_1$ имеет аномальный (осцилляционный)

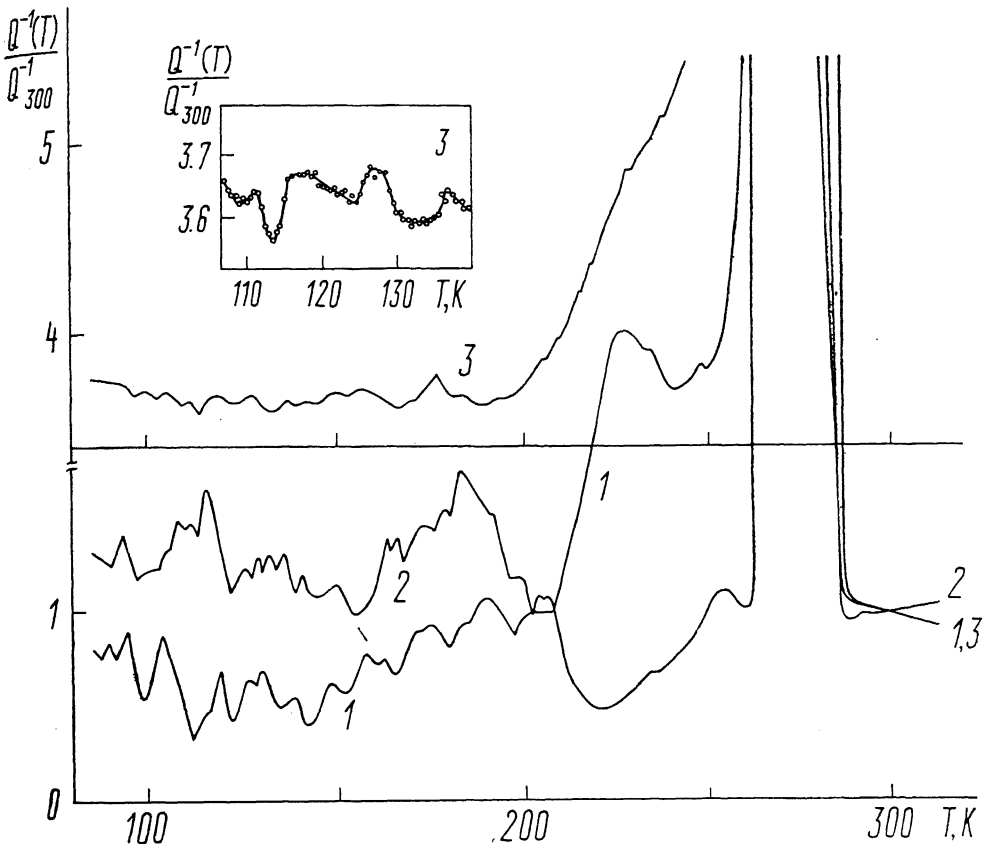


Рис. 2.

характер. Осцилляции Q^{-1} при распространении УЗВ вдоль разных осей отличаются друг от друга и по форме, и по амплитуде. Амплитуда осцилляций Q^{-1} вдоль оси [110] мала по сравнению с амплитудами осцилляций Q^{-1} в других направлениях. При распространении продольных УЗВ вдоль осей [100] и [001] во всем исследованном интервале $T < T_1$ не наблюдается роста неосциллирующей части внутреннего трения Q^{-1} по сравнению с Q^{-1} в парамагнитной области, в то время как вдоль оси [110] эта часть Q^{-1} возрастает более чем в 3 раза.

На рис. 3 приведены температурные зависимости внутреннего трения Q^{-1} при распространении продольных УЗВ вдоль осей [100] (1), [001] (2) и [110] (3) в интервале температур между T_1 и T_2 . В этом температурном интервале Q^{-1} на порядки величин превышает Q^{-1} при $T < T_1$ и обнаруживается сильная анизотропия внутреннего трения. Так, на кривой $Q_{[110]}^{-1}(T)$ при $T_1=263$ К наблюдается резкий рост, а с дальнейшим повышением температуры до T_2 — постепенное уменьшение внутреннего трения. На кривой же $Q_{[100]}^{-1}(T)$ при T_1 имеет место небольшой максимум, затем рост внутреннего трения Q^{-1} с повышением температуры и резкое

его уменьшение при $T_2 = 286$ К. В интервале температур $T_1 < T < T_2$ максимальные значения Q^{-1} (T) вдоль разных осей отличаются на порядки величин, при этом $Q_{[100]}^{-1} > Q_{[110]}^{-1} > Q_{[001]}^{-1}$. На этом большом фоне также проявляются слабые осцилляции Q^{-1} (см. вставку к рис. 3).

В парамагнитной области ($T > T_2$) Q^{-1} практически не зависит от температуры.

Полученные экспериментальные результаты можно объяснить исходя из сделанного в [5] предположения о наличии в FeGe₂ по крайней мере трех взаимодействующих подсистем: упругой, магнитной подсистемы локализованных электронов и магнитной подсистемы коллективизированных электронов. Предполагается, что при $T > T_1$ подсистема локализованных электронов находится в разупорядоченном состоянии, в то время как при $T < T_1$ эта подсистема имеет коллинеарную антиферромагнитную структуру с вектором антиферромагнетизма \mathbf{L} в базисной плоскости. В этой подсистеме при $T = T_1$ происходит магнитный фазовый переход I рода. В подсистеме же коллективизированных электронов при $T \leq T_2$ возникает модулированная магнитная структура, которая сохраняется и при $T < T_1$. Сильная магнитоупругая связь между магнитной подсистемой коллективизированных электронов и кристаллической решеткой, по-видимому, приводит к существованию несоизмеримых кристаллической и магнитной структур при $T < T_2$.

Согласно [1], при $T_1 < T < T_2$ несоизмеримая магнитная структура

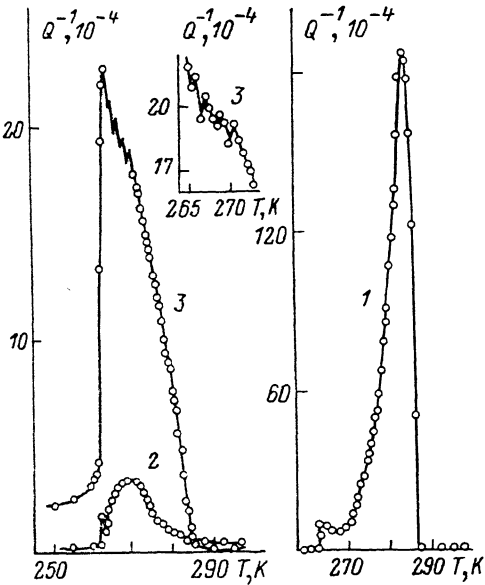


Рис. 3.

представляет собой плоскую спираль с вектором модуляции вдоль оси [100]. Можно полагать, что наблюдаемая нами большая анизотропия внутреннего трения в этом интервале температур обусловлена существованием доменов плоской спирали.

В случае, когда длина продольной УЗВ значительно превышает размеры доменов, соприкасающиеся домены находятся под воздействием однородных, но периодических во времени напряжений, сопровождающих упругую волну. Из-за возникающих при этом различий в величинах плотностей магнитоупругой энергии соприкасающихся доменов [8] происходит взаимное изменение их объемов за счет смещения границ между ними. Смещение границ сопровождается при этом поглощением энергии, например, из-за флуктуационного последействия и т. д.

При распространении продольной УЗВ вдоль оси [100] ее волновой вектор ориентирован неэквивалентно по отношению к векторам модуляции соприкасающихся доменов, ориентированных вдоль осей [100] и [010]. Так как плотность магнитоупругой свободной энергии должна зависеть от взаимной ориентации волнового вектора УЗВ и вектора модуляции в доменах, то это приведет к периодическому во времени взаимному изменению их объемов и смещению границ между ними.

В случае распространения продольных УЗВ вдоль осей [001] и [110] их волновой вектор ориентирован симметричным образом по отношению к векторам модуляции соприкасающихся доменов: в первом случае он перпендикулярен, а во втором — под углом 45° к ним. Поэтому при прохождении ультразвука соприкасающиеся домены остаются в эквивалентных условиях, не меняют своих объемов и не происходит смещения границ

между ними, а следовательно, не должно возникать внутреннего трения, обусловленного смещениями границ. Это согласуется с экспериментальными данными, согласно которым внутреннее трение $Q_{[100]}^{-1}$ при распространении продольной УЗВ вдоль оси [100] на порядки величин превышает внутренние трения $Q_{[001]}^{-1}$ и $Q_{[110]}^{-1}$.

При $T < T_1$, как уже было сказано, существуют две магнитные подсистемы локализованных и колективизированных электронов. Основные неосциллирующие магнитные свойства, а также монотонная часть внутреннего трения, по-видимому, обусловлены антиферромагнитной структурой d -электронов с вектором антиферромагнетизма L , направленным вдоль оси [110]. При наличии доменов этой структуры внутреннее трение должно быть большим вдоль оси [110] по сравнению с внутренним трением в других направлениях. Это предположение подтверждается экспериментально.

Осцилляции внутреннего трения с изменением температуры, по-видимому, обусловлены осцилляциями с температурой пространственных производных намагниченности M_n^0 периодической структуры, оказывающими влияние на упругую и магнитоупругую энергии возмущенного состояния [9]. Осцилляции же производных M_n^0 с температурой обусловлены серией фазовых переходов соизмеримая—несоизмеримая магнитные структуры [5].

Список литературы

- [1] Corliss L. M., Hastings J. M., Kunzmann W., Thomas R., Zhuang J., Butera R., Mukamel D. // Phys. Rev. 1985. V. 31. N 7. P. 4337—4346.
- [2] Зайнуллина Р. И., Власов К. Б., Устелемова Е. В., Миляев М. А., Сыромятников В. Н. // ФММ. 1987. Т. 64. № 5. С. 1019—1021.
- [3] Зайнуллина Р. И., Миляев М. А., Устелемова Е. В., Власов К. Б., Сыромятников В. Н. // ФММ. 1988. Т. 66. № 5. С. 892—895.
- [4] Зайнуллина Р. И., Миляев М. А., Сыромятников В. Н. // ФТТ. 1989. Т. 31. № 4. С. 246—248.
- [5] Zainullina R. I., Vlasov K. B., Milyaev M. A., Ustelemova E. V., Syromyatnikov V. N. // Phys. St. sol. (b). 1989. V. 155. P. 317—323.
- [6] Зиновьева Г. П., Михельсон А. В., Андреева Л. П., Кренцис Р. П., Гельд П. В. // ФТТ. 1972. Т. 14. № 5. С. 1578—1581.
- [7] Pluzhnikov V., Feder D., Fawcett E. // J. Magn. Magn. Mater. 1982. V. 27. N 3. P. 343—346.
- [8] Shapira Y. // J. Appl. Phys. 1971. V. 42. N 4. P. 1588—1594.
- [9] Бучельников В. Д., Шавров В. Г. // ФТТ. 1989. Т. 31. № 5. С. 81—86.

Институт физики металлов
УрО АН СССР
Свердловск

Поступило в Редакцию
13 ноября 1989 г.